

특집논문-04-09-1-02

차량환경에서 음성명령어기 사용을 위한 음성개선방법

백 승 권*, 한 민 수* 남 승 현**, 이 봉 호***, 함 영 권***

Speech Enhancement for Voice commander in Car environment

Seung Kwon Beack*, Minsoo Hahn*, Seung Hyon Nam**, Bong-Ho Lee*** and Young Kwon Hahm***

요 약

본 논문에서는 차량용 음성명령어기의 사용을 위한 전처리 과정으로 음성개선 방법을 다룬다. 특히 보다 주위 소음에 자유롭고 단말 조작에 있어 안정성을 보장하기 위하여 일반적 단일 마이크로 폰으로 처리되는 잡음뿐만 아니라 음성명령어를 제외한 오디오 신호 등 비정적 통계적 특성을 갖는 소음들도 제거 될 수 있도록 음성개선 방법을 제안한다. 우리는 2개의 마이크로폰을 가지고 BSS 알고리즘을 적용하여 비정적 신호들을 분리하고, 분리된 신호에 대하여 Kalman 필터를 이용하여 시간상 단구간 정적 잡음을 제거한다. 인식 실험 결과를 통하여 공간적, 시간적 음성개선 방법이 순차적으로 적용될 때, 실제 차량 환경에서 음성 개선 알고리즘으로 적용될 수 있음을 보였다

Abstract

In this paper, we present a speech enhancement method as a pre-processor for voice commander under car environment. For the friendly and safe use of voice commander in a running car, non-stationary audio signals such as music and non-candidate speech should be reduced. Our technique is a two microphone-based one. It consists of two parts Blind Source Separation (BSS) and Kalman filtering. Firstly, BSS is operated as a spatial filter to deal with non-stationary signals and then car noise is reduced by kalman filtering as a temporal filter. Algorithm performance is tested for speech recognition. And the results show that our two microphone-based technique can be a good candidate to a voice commander.

Keywords : Speech enhancement, Blind Source Separation, Kalman filter

I. 서 론

향후 수년 내에 차량에서의 음성명령어기를 탑재한 단말 서비스가 가능할 것이다. 이때 주행중인 운전자의 안전과

편의를 보장하기 위하여 차량단말 서비스 요청수단으로 음성명령어기 사용이 요구된다. 일반적으로 차량 내에서 신뢰도 높은 음성명령어기 사용을 위하여 음성개선 방법이 전처리 과정으로 요구된다. 차량용 음성명령어기에서 잡음은 주행으로부터 야기되는 잡음뿐만 아니라, 동승자나 라디오로부터 발생하는 음성명령어가 아닌 음성 및 오디오신호도 잡음으로 고려되어야 한다. 전자의 경우 시간상 음성과 상호 상관관계가 적은 관계로 단일 마이크로폰을 이용한 제거가 가능하나 후자는 음성명령어와 시간적 상관관계가 무시될 수 없으므로 단일 마이크로폰을 이용한 제거가 용이

* 한국정보통신대학교 공학부 멀티미디어 그룹
Multimedia Group, Information and Communications University

** 배재대학교 전자공학과
Electronic Engineering, PAICHAJ

*** 한국전자통신연구원 무선방송 연구부
Radio & Broadcasting Research Laboratory ETRI

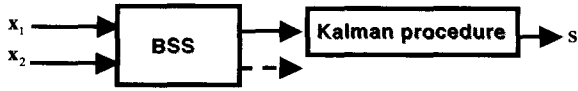


그림 1. 제안된 2개의 마이크로폰을 이용한 음성개선 방법[x_i : 열화된 음성 신호, s : 복원된 원 음성신호]

Fig. 1. Proposed method for speech enhancement with two microphones

하지 않다. 우리는 2개의 마이크로폰을 이용한 제거 방법을 제안한다. 먼저 음성과 시간적 상관성이 큰 신호는 2개의 마이크로폰으로부터 공간적 독립성을 이용하여 분리한 후, 이차적으로 음성신호로 기대되는 채널에 단일마이크로폰 잡음제거 기술을 적용한다. 전자의 공간상 신호분리 방법으로는 Lucas Parra의 BSS(Blind Source Separation)방법을 적용하고^[1] 후자의 시간 축 상의 잡음제거방법은 Kalman 필터를 이용 하였다^[2]. 실험에 사용된 데이터는 실제환경에서 녹취한 차량 잡음과 음악 및 음성 신호를 인식 대상 음성신호와 인위적으로 혼합하여 열화시켰다. 잡음의 공간상 혼합은 실제환경을 반영하기 위해 복적분 혼합회로(convolutive mixture)로 모델을 사용하였다.

우리는 각각의 알고리즘이 열화된 음성에 적용 전/후 음성인식 성능을 측정하여 알고리즘의 신뢰도를 측정하려 한다. 본 논문의 구성은 시간적 잡음제거 기술과 공간적잡음제거 알고리즘에 대하여 간략히 설명하고 각각의 인식성능 및 제안된 전처리 과정에 의한 인식성능을 측정하고 이를 비교 분석한다

II. 시간성 잡음 제거 기술

시간성 잡음을 시간 샘플상에서 음성신호 $s(t)$ 와 상관관

계가 적은 잡음신호 $v(t)$ 로 정의한다. 이는 음성신호 $s(t)$ 에 대한 자기상관함수를 $R_s(\tau) = E\{s(t)s(t+\tau)\}$ 라 할 때, 잡음에 의해 열화된 $\hat{s}(t)(\hat{s}(t) = s(t) + v(t))$ 의 자기상관함수 $R_s(\tau)$ 는 $R_s(\tau) \approx R_s(\tau)$ 로써 표현 가능하다. 만일에 시간상에서 $v(t)$ 가 백색화(whitening) 특성을 지닌다면 이론적으로 $R_s(\tau) = R_s(\tau)$ 이 된다. 그러므로 시간성 잡음은 백색화가 가능할 때 시간 축 상에서 성공적으로 제거가 가능하다. 이러한 백색화가 가능하기 위해서 시간성 잡음은 분석구간 내에서 정적인 통계적 특성(stationary statistic characteristic)을 지녀야 한다. 이러한 조건하에서 시간성 잡음은 단일 마이크로폰으로 입력된 열화음성으로부터 제거가 가능하다.

차량에서 순수하게 발생하는 잡음의 대부분이 단구간 내에서 정적인 통계적 특성을 갖는다. 이는 차량 자체 내에서 발생하는 엔진 소음이나 진동, 에어컨 소음등과 유체의 흐름에 의한 소음-바람과 창문, 지면과 타이어-등이 대표적이라 할 수 있다. 물론 이것이 완벽한 백색화를 통하여 음성으로부터의 제거가 가능한 것은 아닐지라도, 음성보다 장구간에서 정적인 통계특성을 유지한다는 것으로부터 훌륭하게 제거 될 수 있다. 차량 내에서 성공적인 시간성 잡음 제거를 위하여 단구간(200msec) 잡음정보를 기반으로 백색화를 통한 Kalman 필터를적용한다^[2]. Kalman 필터는 백색 가산성 잡음을 효과적으로 억제할 수 있는 알고리즘이다.

그림 2는 본 논문에서 적용한 Kalman 필터를 이용한 시간성 잡음 제거 알고리즘이다. 모든 신호는 디지털화된 것으로 가정한다. 먼저 열화된 음성신호 $s'(n)$ 은 음성신호 $s(n)$ 이 존재하지 않는 무발성 구간(초기 200msec)으로부터 예측된 $v(n)$ 에 대한 AR(Auto-Regression) 모델

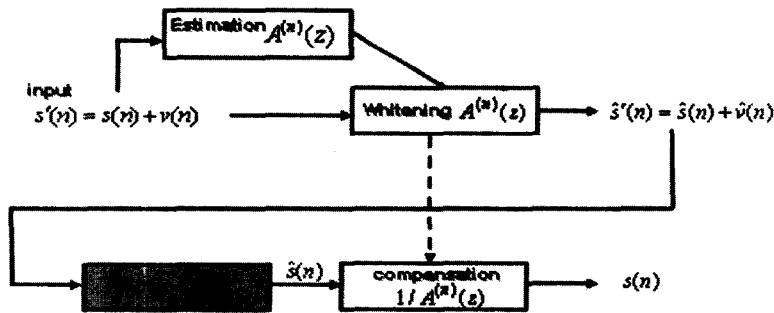


그림 2. Kalman 필터를 이용한 시간성 잡음 제거 알고리즘 구성도
Fig. 2. Temporal noise cancellation with kalman filter

$A^{(n)}(z)$ 에 의하여 백색화된 신호 $\hat{s}'(n)$ 를 생성한다. $\hat{s}'(n)$ 에 포함된 $\hat{v}(n)$ 는 가산성 백색잡음으로 가정할 수 있으며 이는 Kalman 필터를 통해 제거 된다. Kalman 필터의 출력 신호 $\hat{s}(n)$ 은 $A^{(n)}(z)$ 에 의한 스펙트럼 왜곡이 있으므로 $1/A^{(n)}(z)$ 에 의하여 이를 보상해 줌으로써 $s(n)$ 을 최종적으로 출력한다.

차량의 시간성 잡음 중에서 엔진의 진동 소음등과 같이 장구간 안정된 소음이 존재한다. 이러한 소음은 실제 백색화도 용이하지만 간단한 필터링 연산으로 쉽게 제거 가능하다. 이는 이러한 소음의 스펙트럼 구조는 음성의 스펙트럼 구조와 중복되지 않기 때문에 가능하다. 본 논문에서는 GSM-ERF의 2차HPF(High Pass Filter) $H(z)$ 을 Kalman 필터의 전처리 과정으로 적용하였다.

III. 공간성 잡음 제거 기술

차량에서 발생하는 소음은 앞서 정의한 시간성 잡음 외에 음성과 상관관계가 큰 소음들이 있다. 실제적으로 차량용 음성명령어기가 올바르게 동작하기 위해서는 음성 명령어를 제외한 모든 신호를 소음으로 정의할 수 있다. 예를 들어 차량 오디오에서 발생하는 음악 또는 음성 신호나 다른 동승자에 의한 음성은 음성명령어기의 잡음이다. 이러한 소음은 시간에 따라 그 특성이 변화되며 음성과의 상관관계가 존재하므로, 즉 $R_s(\tau) \neq R_s(\tau)$ 이므로 시간성 잡음 기술로써 제거되기 힘들다. 만일 예 소음들을 단일 마이크폰을 이용하여 제거하려 한다면, 동일한 특성을 지니는 구간에서 음성의 스펙트럼 구조를 파괴되어 음성인식이 성공적으로 수행될 수 없다. 그러나 이러한 소음들이 음성과 유사한 스펙트럼 구조를 지닌다 할 지라도 공간상에서 발생하는 음원의 위치는 음성의 음원과 상호 독립적이다. 우리는 이를 공간성 잡음으로 정의한다. 따라서 공간정보의 획득을 위한 2개 이상의 마이크폰을 이용한 제거 기술이 필요하다. 이는 공간상에서 발생하여 혼합된 신호는 공간적으로 상관관계가 없음을 의미한다. 이러한 가정을 전제로, 공간 잡음은 공간 잡음 제거 기술로써 제거될 수 있다. 공간 필터링 기술로써 크게 Beamforming과 BSS(Blind Source Separation) 기술이 있다. 본 논문에서는 BSS 기술을 공간 잡음 제거 기술로써 채택하고 사용 가능성을 검증하고자

한다.

1. BSS

BSS 기술의 최종 목표는 혼합된 신호로부터 원신호를 추출하는 것으로 혼합환경 및 원신호에 대한 정보 없이 혼합신호로부터 원신호를 추출해야 하므로 Blind라는 수식어를 동반한다. 이러한 상황에서 BSS는 “상호 신호들은 서로 독립이다”라는 사실에 근거하여 문제의 해에 접근한다. BSS의 해는 혼합회로를 추정하여 분리회로를 구하는 것이고, 분리회로를 통해 원신호를 복원하는 것을 목적으로 한다. 분리회로를 예측하는 데 있어서 크게 세 가지 모델이 있다. 첫째로 순시적 혼합회로에 대한 분리회로로, 하나의 혼합신호는 각각의 원신호가 임의의 상수 값으로 확장 축소되어 더해져서 만들어진다. 둘째로 지연 순시적 혼합회로에 대한 분리회로로써, 혼합신호는 임의의 상수 값으로 확장 축소되어 혼합되지만 일정한 지연 뒤에 혼합이 이루어진다. 셋째로 복적분 혼합회로에 대한 분리회로로, 하나의 혼합신호는 각각의 원신호가 일정시간의 응답을 갖는 임의의 시스템을 통과하여 합해지는 것을 말한다.

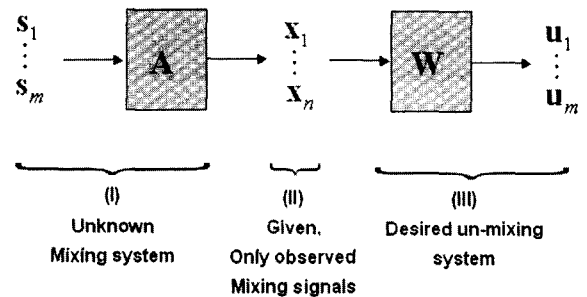


그림 3. BSS의 Global system [A : 혼합회로, W : 분리회로, s_m : 원신호 벡터열, x_n : 혼합신호 벡터열, u_m : 분리신호 벡터열]

Fig. 3. Global system of BSS [A : mixing-channel, W : unmixing-channel, s_m : original signal vector, x_n : mixed signal vector, u_m : unmixing signal vector]

일반적으로 실제환경에서의 BSS는 복적분 혼합회로를 갖는다^{[1][3]}. 이는 혼합신호 X 가 $A * s^T$ 로 부터 발생하는 것을 의미 하며, A 를 시간 lag p 를 가지는 혼합회로 A_p 로 표현할 때, $\mathfrak{R}^{m \times n}$ 의 공간차원을 가지는

$\mathbf{A}_p = (A_{ji,p})_{nm}$ 으로 정의한다. 이에 의한 m 개의 혼합신호 $\mathbf{x}(k) = [x_1(k) \cdots x_m(k)]^T$ 는,

$$x_j(k) = \sum_{i=1}^n \sum_{p=-\infty}^{\infty} A_{ji,p} s_i(k-p)$$

따라서 분리회로 \mathbf{W} 를 통해 분리신호 $\mathbf{u}(k) = [u_1(k) \cdots u_m(k)]^T$ 를 얻을 수 있다.

$$u_j(k) = \sum_{i=1}^m \sum_{p=-\infty}^{\infty} w_{ij,p} x_i(k-p) \quad (2)$$

복적분 분리회로를 구하기 위해서, 각 원 신호에 대하여 공간적으로 독립하다는 가정뿐만 아니라, 시간적으로도 독립해야 한다는 가정이 고려될 때 분리회로의 해를 구할 수 있다. 그러나 복적분 회로의 역 모델은 장시간 시간응답 길이를 갖는 FIR(Finite Impulse Response) 시스템을 요구하므로 수렴을 위해 많은 훈련을 필요하며, 특히 시간적으로 독립하다는 가정으로 인하여 분리신호는 백색화 현상을 초래한다.

본 논문에서는 Lucas Parra의 BSS알고리즘을 적용한다^[1]. 이는 음성 및 오디오 신호가 시간적으로 비정적인 통계적 특성을 이용하여 분리회로의 해를 구함으로써, 실제환경에서의 역 분리회로 출력에 대한 백색화 현상에 대하여 좀더 자유롭다. Lucas의 분리회로는 최소위상 FIR(minimum-phase Finite Impulse Response) 필터로써만 훈련이 가능하다는 단점이 있다. 만일 \mathbf{A} 가 비 최소위상(nonminimum-phase) FIR일 경우, \mathbf{W} 에 대하여 비 순시적(anti-causal) 부분을 야기시킨다. 그러므로 순시적(causal) 또는 최소위상 FIR \mathbf{W} 는 \mathbf{A} 에 대한 올바른 역 시스템이 아님이 분명하다. 실제환경에서 \mathbf{A} 는 일반적으로 비 최소위상 시스템이다. 그럼에도 불구하고 우리는 Lucas의 최소위상 FIR \mathbf{W} 를 적용하려 한다. 이는 차량 공간에서의 \mathbf{A} 는 비 최소위상이라 할지라도 협소한 공간으로 인한 그 반향시간이 짧다. 그러므로 순시적 FIR 모델로써 \mathbf{W} 를 근사화 하여도 성공적인 분리를 기대할 수 있고 비 순시적 부분을 훈련하기 위해 소요되는 연산을 제거할 수 있다. [1]로부터 시간성 잡음에 의한 왜곡을 고려하지 않을 때, 손실함수는 다음과 같이 정의한다.

$$E(w, k') = \mathbf{W}(w) [\bar{\mathbf{R}}_x(w, k')] \mathbf{W}^H(w) - \mathbf{A}_s(w, k') \quad (3)$$

여기서 ω 는 블록단위로 DFT를 수행한 것을 나타내며, k' 는 전체 K 블록의 블록 인덱스이다. Lucas는 2차 통계적 특성을 이용하여 공간상의 자기상관함수 $\bar{\mathbf{R}}_x(\omega, k')$ 에 대한 off-diagonal 항이 zero가 될 때 분리회로의 해를 가지며 해를 구하기 위한 방정식의 수를 K 개로 한 것이다. 이때 분리회로의 계수는 다음과 같이 정의한다.

$$\hat{\mathbf{W}}, \mathbf{A}_s = \underset{\substack{\mathbf{W}, \mathbf{A}_s \\ \mathbf{W}(\tau) = 0, \tau > Q \leq T \\ w_i(w) = 1}}{\operatorname{argmin}} \sum_{w=1}^T \sum_{k=1}^K \|E(w, k)\|^2 \quad (4)$$

Lucas알고리즘의 가장 큰 단점은 주파수영역 각 빈(bin)에서 치환(permutation)이 발생할 수 있다는 것이다. 이는 $\mathbf{W} \cdot \mathbf{A}$ 가 임의의 상수로 확장 또는 축소된 치환 행렬을 해로 가질 수 있기 때문이다. 이러한 문제를 해결하기 위하여 시간영역에서 $\mathbf{W}(\tau) = 0, \tau > Q \leq T$ 의 제약을 둔다. 일반적으로 Q 는 $T/8$ 로 설정한다.

IV. Simulation

1. 시간성 잡음제거 성능 측정

본 논문에서의 실험은 실제 차량환경을 고려하여 인위적인 혼합에 의한 열화된 음성신호를 생성하였다. 먼저 시간성 잡음 제거 기술의 성능측정을 위하여 실제 차량주행환경에서 발생한 시간적 잡음을 녹취 후, 음성 신호와 단순히 더하여 혼합하였다. 실험을 위한 음성신호는 PBW(Phonetically Balanced Word) 셋 중 임의의 남성화자가 1회 발성한 452개 단어를 일괄적으로 사용하였다.

그림 4는 SNR 0dB에 대하여 Kalman 필터를 이용한 시간적 잡음제거 알고리즘을 적용하기 전, 후의 파형이다. 인식실험에 사용된 인식기는 HTK로 452단어에 대하여 55명(남:20, 여:25)이 1회 발성한 것을 훈련데이터로 사용한 것이다. MFCC 39차를 피쳐(feature)로 사용하였으며, 삼상음(triphone)을 인식단위로 하였다. 모든 실험데이터는 16kHz

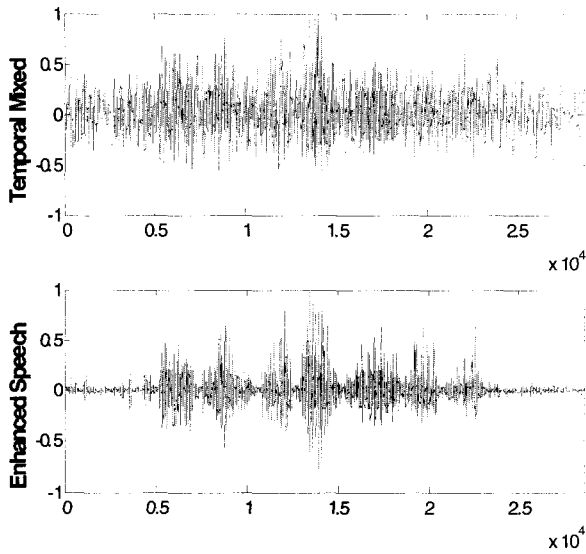


그림 4. Kalman 필터를 이용한 시간성 잡음 제거의 예.
Fig. 4. Example for temporal noise cancellation with kalman filter

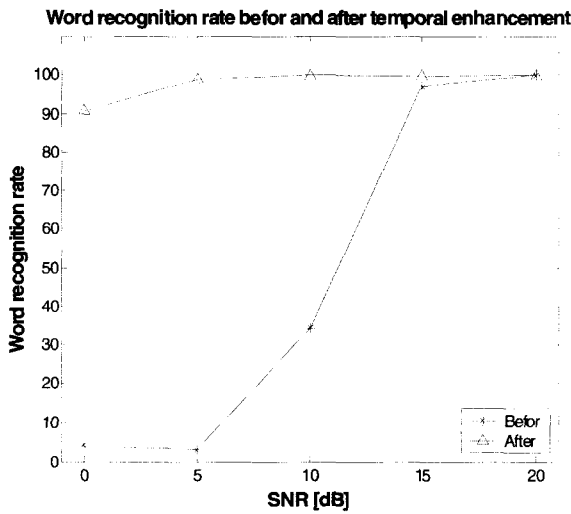


그림 5. SNR 별 시간성 잡음 제거 전/후 인식 결과.
Fig. 5. Speech recognition evaluation under SNR range from 0dB to 20dB before/after temporal noise cancellation

의 표본화 주파수와 16bit 양자화되었다. Mixture 수는 5개를 사용하였다. 그림 5.는 시간성 잡음의 SNR대비 잡음제거 전/후의 인식률을 나타낸다. 여기서 시간성 잡음만이 존재할 경우 열화된 음성은 Kalman 필터링 과정만으로 성공적으로 음성이 개선됨을 인식결과 알 수 있다.

2. 공간성 잡음제거 성능 측정

공간성 잡음에 의해 열화된 음성의 생성을 생성하기 위하여, 차량에 대한 혼합회로 $\mathbf{A} = (A_{ij})_{2,2}$ 를 다음과 같이 정의하였다.

$$A_{11} = 2.2 + z^{-1} - 0.75z^{-2} + 0.4z^{-3} + 0.3z^{-4} + 0.2z^{-5}$$

$$A_{12} = 1.8z^{-1} - 0.7z^{-2} + 0.45z^{-3} + 0.4z^{-4} + 0.1z^{-5}$$

$$A_{21} = 1.7z^{-1} - 0.45z^{-2} + 0.4z^{-3} + 0.2z^{-4} + 0.1z^{-5}$$

$$A_{22} = 1.9 + 0.8z^{-1} - 0.35z^{-2} + 0.3z^{-3} + 0.2z^{-4} + 0.1z^{-5}$$

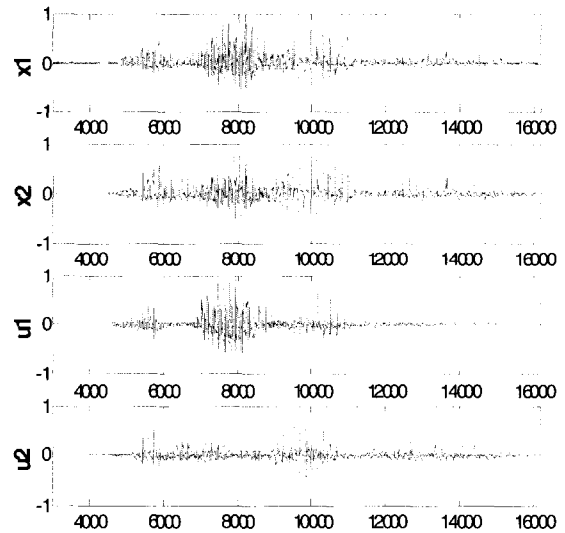


그림 6. 혼합된 음성신호에서 음성 추출
Fig. 6. Speech extraction in mixed speech signal

혼합 방법은 452개 각각의 단어를 \mathbf{S}_1 로 하여 이것을 인식대상어휘로 하고, 각각에 대하여 \mathbf{S}_2 를 임의의 오디오 또는 다른 음성신호로 하여 $\mathbf{A} * [\mathbf{s}_1, \mathbf{s}_2]^T$ 에 의하여 $[\mathbf{x}_1, \mathbf{x}_2]^T$ 를 생성한다. $[\mathbf{x}_1, \mathbf{x}_2]^T$ 에 대한 BSS 분리 신호 $[\mathbf{u}_1, \mathbf{u}_2]^T$ 는 그림 6과 그림 7에 나타내었다. 각각에 대한 인식 결과는 그림 8과 같다. 인식결과는 Mixture수에 따라(1,3,5) 수행하였으며 결과는 그림 8과 같다. 공간성 잡음 제거 후 인식 결과는 제거 전과 큰 차이를 보임을 알 수 있다. 특히 Mixture 5

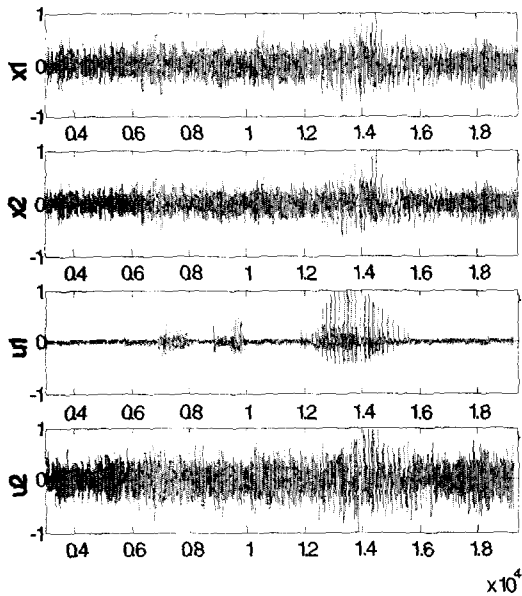


그림 7. 음성과 음악신호의 혼합에서 음성 개선
Fig. 7. Speech extraction in mixing music and speech

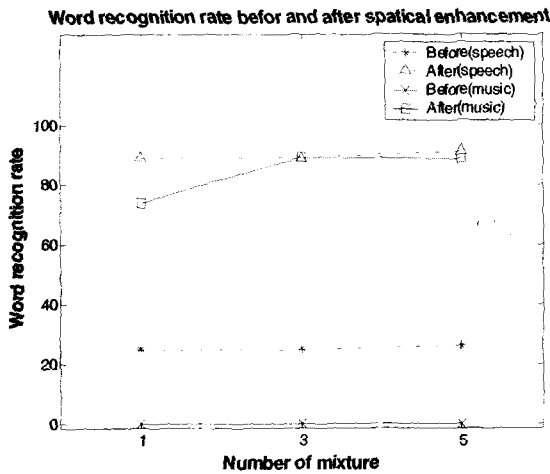


그림 8. Mixture 수에 따른 공간성 잡음제거 적용 전/후 인식률 결과
Fig. 8. Speech recognition rate before/after spatial filtering with number of mixtures

에 대한 인식 실험 결과에서, 그림 7과 같이 구간 전반에 걸쳐 음악 신호와 혼합된 음성 신호는 알고리즘 적용 전 인식률이 영에 가까웠으나 음성개선 후 최대 89.2%의 인식 성능이 향상됨을 보였다. 이러한 결과로부터 음성과 상관관계가 큰 신호일 지라도 인식 가능하도록 충분이 제거 될 수 있음을 알 수 있다.

3. 제안된 알고리즘의 성능측정

마지막으로, 음성에 공간성 잡음과 시간성 잡음이 동시에 존재할 경우 제안된 음성개선 방법을 수행하였다. 인식률 측정은 SNR 0dB에 대하여만 측정하였다. 이는 BSS 출력 신호에서 우리가 인식하고자 하는 신호의 순서의 불확정성 문제 때문에 혼합신호로부터 각 음성신호의 분리 후, 인식 어휘를 수작업으로 확인해야 하므로 가장 인식 성능 향상을 확인할 수 있는 0dB에 대하여 인식률을 측정하였다. 이는 BSS가 지니는 출력신호의 순서 혼돈(ordering-permutation)이라는 고유의 성질로^[1], 인하여 발생하는 문제로 향후 본 제안된 시스템의 적용을 위하여 해결되어야 한다.

그림 9는 Kalman 필터와 제안된 시스템의 음성개선 후의 음성파형이다. Kalman 필터를 적용한 후인 그림 (9)의 (a)는 잡음제거가 성공적으로 수행되지 못했다. 즉, 음성과 상관성이 큰 공간성 잡음이 존재하는 음성신호에 대하여 시간영역 음성 개선 방법은 효과적으로 수행될 수 없음을 확인할 수 있다. (b)의 경우, 공간성 잡음 제거 후의 시간성 잡음 제거는 성공적으로 음성개선을 수행할 수 있음을 알 수 있다.

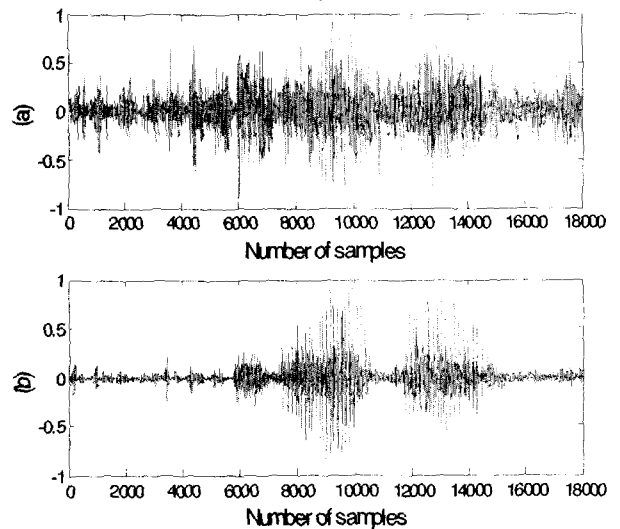


그림 9. 시간성+공간성 잡음이 혼합된 음성신호의 개선된 결과 파형: (a) Kalman 필터만을 이용한 음성 결과 (b) BSS 적용후 Kalman 필터 적용결과
Fig 9. Improved speech from temporal plus spatial noise corrupted speech (a) after Kalman (b) after BSS and Kalman

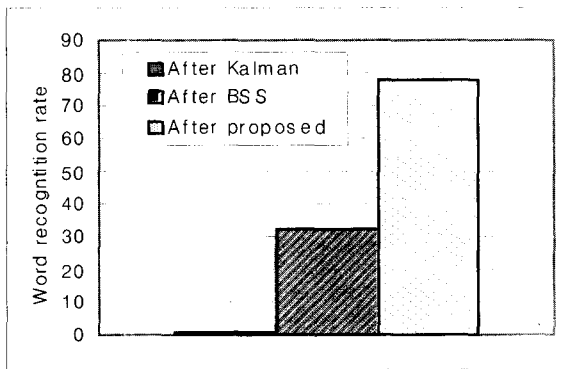


그림 10. 시간성+공간성 잡음에 대한 각 알고리즘 적용 후 인식성능
Fig. 10. Speech recognition rate after applying each algorithm

시간성 공간성 잡음이 동시에 존재하는 열화음성에 대하여, 제안된 구조의 음성개선방법과 시간적, 공간적 각각의 독립된 방법을 이용한 음성개선 후 인식결과를 그림 9에 나타내었다. 결과로부터 두 가지 특성의 잡음이 음성 내 존재할 때 하나의 제거방식으로 제거가 불가능 함을 인식률의 차이로부터 다시 한번 확인 할 수 있다. 또한 그림 1에서 제안된 알고리즘의 구조와 같이, 시간성 잡음 제거는 공간성 잡음제거 필터보다 후처리 해야 함이 타당하며, 이는 공간성 잡음을 시간성 잡음제거로 처리할 경우 음성과 상관 부분에대한 음성의 열화로 음성개선으로 인한 더욱 열화된 음성을 얻을 수 있음을 알 수 있다.

V. 결 론

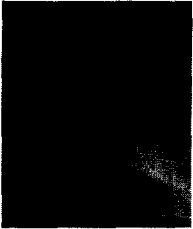
음성명령어를 사용하기 위하여 차량 환경에서 시간

성 잡음뿐만 아니라 공간성 잡음도 제거 되어야 한다. 본 논문에서 우리는 발생할 수 있는 시간성, 공간성 잡음이 제거가 가능함을 제시하려 하였다. 본 논문에서 제안된 시스템은 기존의 Lucas Parra의 BSS 알고리즘과 Kalman 필터를 순차적으로 적용한 것으로 공간필터링이 선행한 후에 시간성 필터링 작업이 의미가 있음을 실험 결과를 통해 알 수 있었고 인식률이 현저히 향상될 수 있음을 보였다. 그러나 BSS에서 문제되지 않았던 출력 신호의 혼돈은 제안된 방법의 시간성 잡음제거 적용과정에서 목적 음성신호 구분의 혼돈을 야기시키게 되었다. 그러므로 제안된 방법이 실제 환경에 적응 가능하도록 BSS 알고리즘 상에서 출력신호의 혼돈 문제를 해결하는 것이 향후 연구되어야 할 것이다. 또한 두 가지 알고리즘의 병행함으로 인해 발생하는 알고리즘의 복잡도를 최소화 하기 위하여 효율적 결합방식에 대하여도 연구되어야 하겠다.

참 고 문 헌

- [1] L. Parra and C. Spence, "Convolutional blind separation of nonstationary sources," IEEE Trans. Speech Audio Processing, vol. 8, pp. 320-327, May 2000
- [2] S.Jeong and M. Hahn, "Speech quality and recognition rate improvement in car noise environments," Electronics Letters, vol. 37, No 12, pp. 800-801, June, 2001.
- [3] A.J. Bell and T.J. Sejnowski, "An information-maximization approach to blind separation and blind deconvolution," Neural Computation, vol. 7, no. 6, pp. 1129-1159, 1995
- [4] C. Fancourt and L. Parra, "Coherence function as a criterion for blind source separation," in IEEE International Workshop on Neural Networks and Signal Processing 2001, 2001, pp. 303-312

 저자 소개

**백 승 권**

- 1999년 2월 : 한국항공대학교 항공전자공학과 졸업(학사)
- 2001년 2월 : 한국정보통신대학교 공학부 졸업(석사)
- 2001년 2월 현재 : 한국정보통신대학교 공학부 박사과정
- 주관심분야 : 음성 및 오디오 신호처리, 음성개선

**한 민 수**

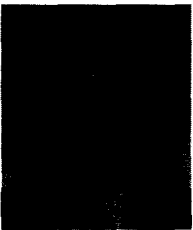
- 1979년 2월 : 서울대학교 전기공학과 졸업(학사)
- 1981년 2월 : 서울대학교 전기공학과 졸업(석사)
- 1989년 12월 : Univ. of Florida 전기전자공학과 졸업(박사)
- 1990년 2월~1997년 12월 : 한국전자통신연구원 책임연구원
- 1998년 1월 현재 : 한국정보통신대학교 부교수
- 주관심분야 : 음성 및 오디오 신호처리, 음성합성 및 분석, 3D 오디오

**남 승 현**

- 1980년 2월 : 서강대학교 전자공학과 졸업
- 1987년 : The University of Alabama (Huntsville) 전기및 컴퓨터공학과 (공학석사)
- 1992년 : Texas A&M University 전기공학과 (공학박사)
- 1979년 12월~1985년 6월 : 국방과학연구소 연구원
- 1993년~현재 : 배재대학교 전자공학과 교수
- 주관심분야 : 음성 및 오디오 신호처리, 적응신호처리

**이 봉 호**

- 1997년 2월 : 한국항공대학교 항공전자공학과 졸업 (학사)
- 1999년 2월 : 한국항공대학교 항공전자공학과 졸업 (석사)
- 1999년 3월~현재 : 한국전자통신연구원 선임연구원
- 주관심분야 : 멀티미디어 방송 시스템, 디지털 비디오 방송 시스템 멀티미디어 코딩

**함 영 권**

- 1980년 2월 : 연세대학교 졸업 (학사)
- 1982년 2월 : 연세대학교 졸업 (석사)
- 1996년 2월 : 연세대학교 졸업 (박사)
- 1984년 3월~현재 : ETRI 책임연구원/모바일멀티미디어 방송 연구팀장
- 주관심분야 : 디지털 방송, 디지털 멀티미디어 방송 시스템